

## 波浪中における円柱の相互干渉

大阪市立大学工学部 正会員 永井莊七郎  
同 上 正会員○倉田 克彦

## 1. まえがき

波浪中の1本の円柱に働く波力に関しては、これまで数多くの研究がなされてきた。例えば、円柱直徑が波長に対して小さい場合には Morison et al. その他数多くの研究が、円柱直徑が波長に対して大きい場合には MacCamy and Fuchs, 山口, 水井らによつて、さうに円柱が碎波力を受けける場合については合田による研究がある。波浪中に円柱が2本以上ある場合のそれぞれの円柱に働く波力については比較的その研究例は少ない。

本研究においては、波浪中に2本の円柱が並べられた場合、それぞれの円柱に働く波力を理論的に検討したものである。

## 2. 理論的検討

図-1に示すよろく、水底から水面まで直立した直徑の異なる2本の円柱が波浪中にある場合、それぞれの円柱に働く波力は次のようにして求ます。

微小振幅波理論を用ひて、直角座標  $(x, y, z)$  あるいは  $(x', y', z')$  の代りに円筒座標  $(r, \theta, z)$  あるいは  $(s, \psi, z)$  によって入射波の速度ポテンシャルを表わせば

$$\left. \begin{aligned} \Phi_i &= -\omega \frac{H}{2} \frac{\cosh k(h+z)}{\sinh kh} e^{-i\omega t} \sum_n i^n J_n(kr) e^{in\theta} \\ &\text{あるいは} \end{aligned} \right\} \quad (1)$$

$$\Phi'_i = -\omega \frac{H}{2} \frac{\cosh k(h+z)}{\sinh kh} e^{i\omega s} e^{-i\omega t} \sum_n i^n J_n(ks) e^{in\psi}$$

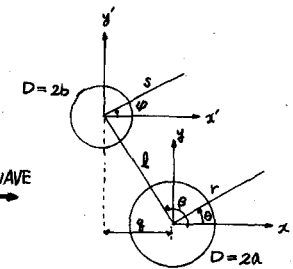


図-1 波浪中の2本の円柱

となる。

入射波によつて円柱OおよびO'から生ずる散乱波の速度ポテンシャル  $\phi_{ro}$  および  $\phi_{ro'}$  が MacCamy's の方法にならつて求めることができ。この  $\phi_{ro}$ ,  $\phi_{ro'}$  を有する散乱波はそれぞれ他の円柱O'およびOへの入射波となるので、新たに円柱O'およびOから生ずる散乱波の速度ポテンシャル  $\phi_{so'}$  および  $\phi_{so}$  が加わる。同様に、 $\phi_{so'}$  および  $\phi_{so}$  を有する波を入射波とした場合に円柱OおよびO'から生ずる散乱波の速度ポテンシャルを  $\phi_{ro}$  および  $\phi_{ro'}$  とすれば、円柱OおよびO'の近傍の波動の場の速度ポテンシャル  $\phi$  および  $\phi'$  は次のようになる。

$$\left. \begin{aligned} \phi &= \Phi_i + \phi_{ro} + \phi_{ro'} + \phi_{so} + \phi_{so'} + \phi_{to} \\ \phi' &= \Phi'_i + \phi_{ro'} + \phi_{ro} + \phi_{so'} + \phi_{so} + \phi_{to'} \end{aligned} \right\} \quad (2)$$

但し、この場合、円柱O [  $\phi$  ] およびO' [  $\phi'$  ] については、すべて  $(r, \theta, z)$  および  $(s, \psi, z)$  座標に書き表わす必要がある。

円柱OおよびO'に働く波力  $F$  および  $F'$  について次のような式が得られる。

$$C_{M2} = \frac{F_{MAX}}{w_0 H \frac{2 \tanh kh}{k^2}} = A(ka) X_0(a, l, \beta) \quad (3)$$

$$A(ka) = \frac{1}{\sqrt{J_1'^2(ka) + Y_1'^2(ka)}} \quad (4)$$

$$X_0(a, l, \beta) = 1 + \frac{1}{2} \cdot i \cdot e^{ikb} \sum_{\nu} \frac{J_{\nu}'(kb)}{H_{\nu}'(kb)} \cdot (-i)^{\nu} \cdot e^{i\nu\beta} \left\{ H_{l+1}^{(u)}(kl) \cdot e^{i\beta} - H_{l-1}^{(u)}(kl) \cdot e^{-i\beta} \right\} \\ + \frac{1}{2} \sum_{\lambda} \frac{J_{\lambda}'(kb)}{H_{\lambda}^{(u)}(kb)} \cdot i^{\lambda+1} \cdot e^{i\lambda\beta} \sum_{\mu} - \frac{J_{\mu}'(kb)}{H_{\mu}^{(u)}(kb)} \cdot \left\{ H_{\lambda+1}^{(u)}(kl) \cdot e^{-i\beta} - H_{\lambda-1}^{(u)}(kl) \cdot e^{i\beta} \right\} \quad (5)$$

$$C'_{M2} = \frac{F'_{MAX}}{w_0 H \frac{2 \tanh kh}{k^2}} = A(kb) X_0'(b, l, \beta) \quad (6)$$

$$A(kb) = \frac{1}{\sqrt{J_1'^2(kb) + Y_1'^2(kb)}} \quad (7)$$

$$X_0'(b, l, \beta) = 1 + \frac{1}{2} \cdot (-i) \cdot e^{ikb} \sum_{\lambda} \frac{J_{\lambda}'(kb)}{H_{\lambda}'(kb)} \cdot i^{\lambda} \cdot e^{i\lambda\beta} \left\{ H_{\lambda+1}^{(u)}(kl) \cdot e^{i\beta} - H_{\lambda-1}^{(u)}(kl) \cdot e^{-i\beta} \right\} \\ + \frac{1}{2} \sum_{\nu} \frac{J_{\nu}'(kb)}{H_{\nu}^{(u)}(kb)} \cdot (-i)^{\nu+1} \cdot e^{i\nu\beta} \sum_{\mu} - \frac{J_{\mu}'(kb)}{H_{\mu}^{(u)}(kb)} \cdot \left\{ H_{\mu+1}^{(u)}(kl) \cdot e^{-i\beta} - H_{\mu-1}^{(u)}(kl) \cdot e^{i\beta} \right\} \quad (8)$$

$X_0, X_0'$  の第1項は円柱が1本の場合に相当し、第2項および第3項が円柱が2本あるために生じる円柱の相互干渉を表わす項である。 $i$  の  $C_{M2}, C'_M$  を円柱が2本ある場合の見掛けの質量係数と歴する。直徑が同じ円柱( $a=b$ )を2本、波の進行方向と直角および平行に並べた場合の  $C_{M2}, C'_M$  を  $l/D=1.0 \sim 50, D/L=0.02 \sim 1.0$  の範囲について計算した結果を要約すると次のとおりである。

- (1) 波の進行方向に直角および平行に並べられた場合の後方円柱については、 $D/L=0.02 \sim 1.0$  の範囲では  $l/D \geq 3 \sim 4$  になれば隣接円柱の影響(円柱の相互干渉)はほぼ無視できる。
- (2) 波の進行方向に平行に並べられた場合の前方円柱については、 $D/L < 0.1$  の範囲では、 $l/D \geq 3 \sim 4$  になれば円柱の相互干渉はほぼ無視しうるようになるが、 $D/L=0.1 \sim 1.0$  の範囲では  $l/D=10 \sim 20$  程度まで円柱の相互干渉の影響がある。

